

СЗУб.28

К-658

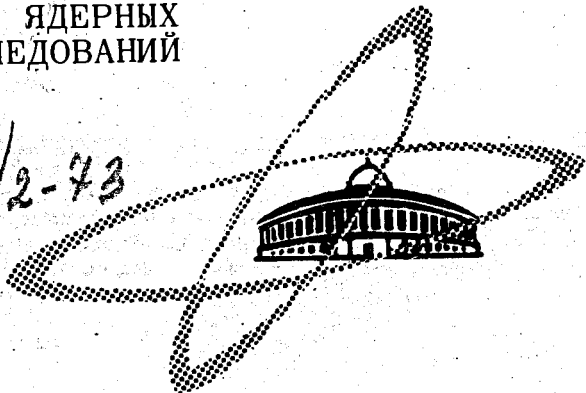
2/1-73

СООБЩЕНИЯ  
ОБЪЕДИНЕННОГО  
ИНСТИТУТА  
ЯДЕРНЫХ  
ИССЛЕДОВАНИЙ

Дубна

84/2-73

P2 - 6711



Б.З.Копелиович, И.К.Поташникова

ЛАБОРАТОРИЯ ЯДЕРНЫХ ПРОБЛЕМ

МЕХАНИЗМ РЕАКЦИЙ  $p+d \rightarrow t + \pi^+$

И  $pt$  -РАССЕЯНИЯ НАЗАД

ПРИ ВЫСОКОЙ ЭНЕРГИИ

1972

P2 - 6711

Б.З.Копелиович, И.К.Поташникова

МЕХАНИЗМ РЕАКЦИЙ  $p+d \rightarrow t + \pi^+$   
И  $pt$  -РАССЕЯНИЯ НАЗАД  
ПРИ ВЫСОКОЙ ЭНЕРГИИ

Объединенный институт  
ядерных исследований  
БИБЛИОТЕКА

# I. РЕАКЦИЯ $p + d \rightarrow t + \pi^+$ ПРИ ВЫСОКОЙ ЭНЕРГИИ

## 1.1. Механизм Рудермана

Реакции



в течение многих лет привлекали внимание экспериментаторов в связи с проверкой принципа зарядовой симметрии ядерных сил. Нас они будут интересовать с точки зрения механизма.

Первый расчет процесса /1.1/ был выполнен Рудерманом /1/ \* в импульсном приближении. Считалось, что между налетающим и связанным протонами происходит реакция



после чего рожденный дейтрон с нейтроном образуют ядро трития. Для сечений процессов /1.1/ и /1.3/ было установлено следующее соотношение:

$$\frac{d\sigma}{d\Omega}(pd \rightarrow t\pi^+) = \frac{1}{3v_{pd}} |f(\theta)|^2 \frac{E_t}{E_\pi + E_t} \left[ v_{pp} \frac{E_\pi + E_d}{E_d} \frac{d\sigma}{d\Omega}(pp \rightarrow d\pi^+) \right]. \quad /1.4/$$

\* Авторы благодарны О.В.Савченко, указавшему им на эту работу и экспериментальные данные по реакциям /1.1/ и /1.2/.

Здесь

$$f(\theta) = \int \Psi_d(\vec{r}) \exp(i\vec{\Delta}\vec{r}) \frac{\Psi_t(\vec{r}, 0)}{\Psi_d(0)} d^3r, \quad /1.5/$$

$\Psi(\vec{r})$  и  $\Psi(\vec{\rho}, \vec{r})$  - волновые функции дейтрона и трития;  $\vec{r}$  и  $\vec{\rho}$  - относительные расстояния между  $n$ ,  $p$  и их центром тяжести и третьим нуклоном:

$$\Delta = \frac{1}{2}k - \frac{1}{3}q, \quad /1.6/$$

$k$  и  $q$  - импульсы протона и  $\pi$ -мезона в с.ц.м.

Путем введения ядерного кора Блюдману /2/ удалось получить хорошее согласие формулы /1.4/ с экспериментальными данными при энергии протонов 341 Мэв в широкой области углов. Позже, однако, выяснилось /3,4/, что с ростом кинетической энергии налетающих протонов расчетное сечение падает слишком быстро и уже при энергии  $\approx 700$  Мэв значительно ниже экспериментальных данных.

Авторы работы /5/ повторили вывод формулы /1.4/ более аккуратно, получив некоторое отличие в кинематических множителях, а также в способе экстраполяции сечения реакций /1.3/ по массам виртуальных частиц /об этом см. ниже/. Путем выбора более реалистических волновых функций  $\Psi_d$  и  $\Psi_t$  им удалось улучшить согласие с экспериментальными данными в области малых углов вылета  $\pi$ -мезона, однако, в области больших углов расхождение осталось значительным.

Для того чтобы понять причины этого расхождения, рассмотрим диаграмму, изображенную на рис. 1, которая соответствует обсуждаемому механизму. Амплитуда, отвечающая этой диаграмме, имеет вид:

$$A = \int \bar{V}(h) \Gamma_t^*(q^2) \frac{1}{\sqrt{3}} \gamma_5 \gamma_\mu \frac{\hat{n} + M_N}{n^2 - M_N^2} \Gamma_d(Q^2) \frac{1}{\sqrt{2}} \gamma_\nu e_\nu(d) \times /1.7/$$

$$\times \frac{\hat{p}' - M_N}{p'^2 - M_N^2} R_\lambda U(p) \frac{g_{\mu\lambda} - d'_\mu d'_\lambda / M_d^2}{d'^2 - M_d^2} \frac{d^4 Q}{(2\pi)^4}$$

Здесь  $V(h)$ ,  $e(d)$  и  $U(p)$  - волновые функции  $t$ ,  $d$  и  $p$ .

$$Q = \frac{1}{2} \cdot (p' - n), \quad /1.8/$$

$$q = \frac{M_N d' - M_d n}{M_N + M_d} = Q + \Delta, \quad /1.9/$$

$$\Delta = \frac{1}{3} \left( p - \frac{d}{2} - k \right). \quad /1.10/$$

Импульсы частиц обозначены в соответствии с обозначениями на рис. 1.

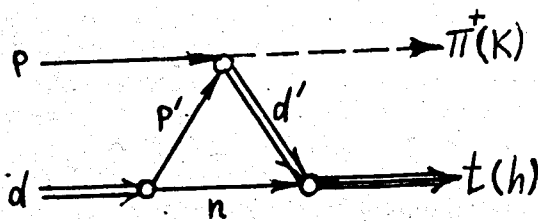


Рис. 1

$\Gamma_t(q^2)$  и  $\Gamma_d(Q^2)$  - вершинные функции развала ядер  $t$  и  $d$ .

$$R = \bar{U}^c(p') \hat{R}_\lambda U(p) e_\lambda(d'). \quad /1.11/$$

При больших  $Q$  подынтегральное выражение в /1.7/ мало благодаря наличию вершинных функций и пропагаторов. Из-за того, что аргументы вершинных функций сдвинуты на  $\Delta$ , область сходимости интеграла /1.7/  $Q_{max} \geq \Delta$ .

Если  $\Delta$  мало, то амплитуду реакции /1.3/ и ряд других членов в /1.7/ можно считать слабо меняющимися в области сходимости и вынести за знак интеграла.

$$A = \bar{V}(h) \frac{1}{\sqrt{3}} \gamma_5 \gamma_\mu (\hat{n} + M_N) \frac{1}{\sqrt{2}} \gamma_\nu e_\nu(d) (\hat{p}' - M_N) \hat{R}_\lambda U(p) (g_{\mu\lambda} - \frac{d'_\mu d'_\lambda}{M_d^2}) J. \quad /1.12/$$

Здесь обозначено

$$J = \int \frac{d^4 Q}{(2\pi)^4} \frac{\Gamma_t^*(q^2) \Gamma_d(Q^2)}{(n^2 - M_N^2)(p'^2 - M_N^2)(d'^2 - M_d^2)}. \quad /1.13/$$

$J$  содержит под интегралом две вершинные функции, аргументы которых сдвинуты на  $\Delta$ . Поэтому с ростом  $\Delta$   $J$  быстро падает. Этими причинами объясняется малая величина  $J$  при высокой энергии налетающих протонов в области больших углов вылета  $\pi$ -мезонов /область максимальных  $\Delta$ /.

Получим из /1.12/ формулу /1.4/. При этом станут ясны дополнительные предположения, которые нужно сделать.

Преобразуем выражение /1.13/ для  $J$  в системе покоя дейтрона, пренебрегая в знаменателе членами второго порядка по  $Q_0$  и энергиям связи /это можно сделать, если кинетическая энергия трития мала по сравнению с его массой/.

$$p'^2 - M_N^2 = M_d Q_0 - (\vec{Q}^2 + M_N \epsilon_d)$$

$$d'^2 - M_d^2 = 2M_d q_0 - (\vec{q}^2 + \frac{8}{3} M_N \epsilon_t)$$

$$n^2 - M_N^2 = -M_d Q_0 - (\vec{Q}^2 + M_N \epsilon_d)$$

или

$$n^2 - M_N^2 = -M_d q_0 - (\vec{q}^2 + \frac{2}{3} M_N \epsilon_t).$$

Здесь

$$\epsilon_d = 2M_N - M_d,$$

$$\epsilon_t = M_N + M_d - M_t.$$

Пользуясь этими соотношениями, выполняем в /1.13/ интегрирование по  $Q_0$  и получаем

$$J = \frac{i}{12M_N} \int \frac{d^3 Q}{(2\pi)^3} \frac{\Gamma_d(Q^2) \Gamma_t^*(q^2)}{(\vec{Q}^2 + M_N \epsilon_d)(\vec{q}^2 + \frac{4}{3} M_N \epsilon_t)}. \quad /1.14/$$

Выразив вершины в одночастичной модели ядра через волновые функции /7/

$$\Gamma(q^2) = \sqrt{2M_d} (\vec{q}^2 / 2m + \epsilon) \Psi(q), \quad /1.15/$$

где  $m$  - приведенная масса продуктов распада, имеем из /1.15/ и /1.9/

$$J = \frac{i}{4M_N^2} \int \Psi_d(\vec{r}) \Psi_t^*(\vec{r}) \exp(-i \vec{\Delta} \vec{r}) d^3 r. \quad /1.16/$$

Если для  $\Gamma_t$  воспользоваться выражением, полученным Бланкенбеклером, Гольдбергером и Хальперном /8/, то

$$J = \frac{i}{4M_N^2} \int \Psi_d(\vec{r}) \Psi_d(\vec{r}') \Psi_t(\vec{r}; \vec{r}') \exp(-i \vec{\Delta} \vec{r}) d^3 r d^3 r'. \quad /1.17/$$

Для того чтобы /1.16/ или /1.17/ привести к форме /1.5/, достаточно предположить, что  $\Psi_t(\vec{r}_i)$  допускает факторизацию в координатах Якоби. Однако мотивировка этого, основанная на утверждении о том, что виртуальный дейтрон характеризуется малым относительным расстоянием между нуклонами /1.5/, неверна, как видно из проделанных вычислений.

Возвращаясь к выражению /1.12/, пренебрегаем в нем сходом с массовой поверхности виртуальных частиц. Это относится как к экстраполяции амплитуды реакции /1.3/ по массам  $p$  и  $d$ , так и к спиновой структуре процесса. После этого получаем

$$\sum_{spin} |A|^2 = 16 M_N^3 M_t |J|^2 \sum_{spin} |R|^2.$$

Откуда

$$\frac{d\sigma}{d\Omega}_{с.ц.м.} (p d \rightarrow t \pi^+) = \frac{M_t}{3M_N} \frac{s_{pp}}{s_{pd}} \frac{k_{\pi t} k_{pp}}{k_{pd} k_{\pi d}} |4M_N^2 J|^2 \frac{d\sigma}{d\Omega}_{с.ц.м.} (pp \rightarrow d \pi^+).$$

Здесь  $s$  - и  $k$  - квадрат полной энергии и импульс соответствующих пар частиц в их с.ц.м.

При подстановке сечения реакции /1.3/ в /1.18/ имеется некоторый произвол. Не определены как импульс виртуального протона, который может меняться в пределах области сходимости интеграла /1.7/, так и способ экстраполяции сечения по массам виртуальных частиц. В /1/ сечение подставлялось при  $k_{pp} = k_{pd}$  и фиксированном угле рассеяния. В /5/ при экстраполяции сечения фиксировались импульсы частиц. Причем  $p'$  выбиралось минимальным при данных  $p$  и  $k$ .

Дифференциальное сечение процесса /1.1/, вычисленное по формулам /1.16/ и /1.18/ для угла вылета  $\pi$ -мезонов  $180^\circ$ , показано на рис. 2 пунктирной линией. При расчете были использованы  $S$ -волновая часть функции Мак-Ги /9/ для дейтрона и гауссовская форма для трития /10/. Сечение реакции /1.3/ подставлялось при  $s_{pp}$  и угле рассеяния, соответствующим виртуальному процессу на диаграмме на рис. 1 при  $Q = 0$ .

## 1.2. Механизм однопионного обмена

В литературе известен так называемый механизм однопионного обмена, который был использован при расчетах сечений реакции /1.3/ /11/\* и упругого  $pd$ -рассеяния назад /13, 14, 12/ и дал хо-

\* См. также ссылки в /12/



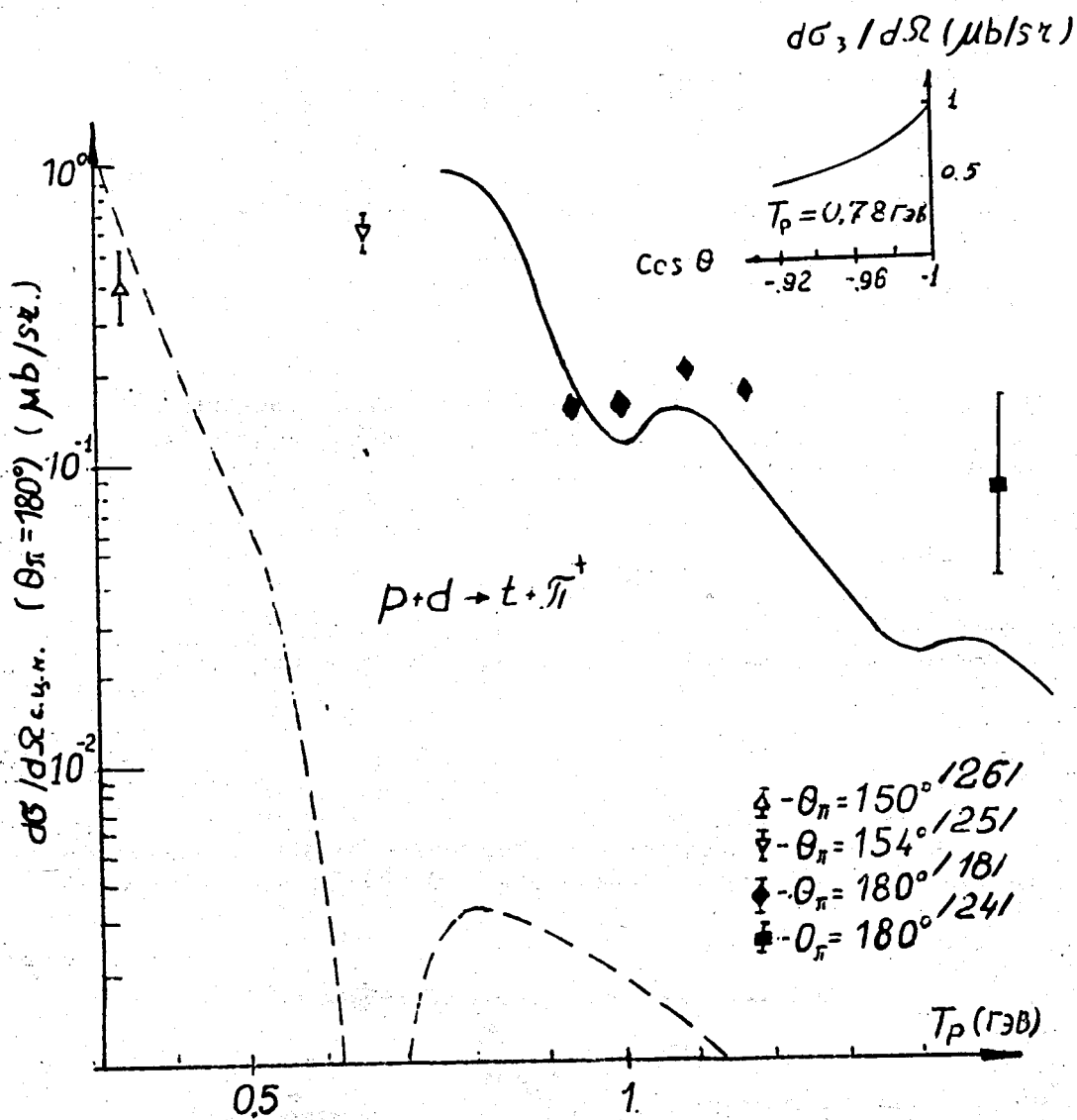


Рис. 2

рошие результаты. Рассмотрим вклад аналогичного механизма в сечение реакций /1.1/ и /1.2/. Соответствующая диаграмма изображена на рис. 3. Отвечающая ей амплитуда имеет вид

$$A = \int \frac{d^4 q}{(2\pi)^4} V(h) \Gamma_t^*(q^2) \frac{1}{\sqrt{3}} \gamma_5 \gamma_\mu \frac{\hat{n} + M_N}{n^2 - M_N^2} \gamma_5 \sqrt{2} G \times$$

$$\times \frac{F(k'^2)}{k'^2 - \mu^2} U(p) \frac{(g_{\mu\nu} - d'_\mu d'_\nu / M_d^2)}{d'^2 - M_d^2} T_{\nu\lambda} e_\lambda. \quad /1.19/$$

Здесь помимо обозначений, используемых в /1.7/, введены следующие:  $G$  - константа связи  $\pi$ - $N$ ;  $G^2/4\pi = 14,7$ ;  $F(k'^2)$  - формфактор Феррари-Селлери /15/

$$F(k'^2) = \left(1 + \frac{\mu^2 - k'^2}{60\mu^2}\right)^{-1},$$

учитывающий сход  $\pi$ -мезона с массовой поверхностью;

$$T = e_\nu^* T_{\nu\lambda} e_\lambda \quad /1.20/$$

- амплитуда  $\pi d$ -рассеяния.

Обозначения 4-импульсов частиц соответствуют обозначениям на рис. 3. Поскольку интеграл по  $q$  в /1.19/ быстро сходится за

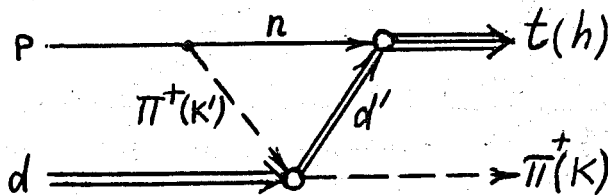


Рис. 3

счет вершины  $\Gamma_t(q^2)$  и пропагаторов частиц, медленно меняющиеся функции можно вынести за знак интеграла, положив в них  $q = 0$  /будем считать, что  $T_{\nu\lambda}$  удовлетворяет этому требованию/. После преобразования получаем

$$A = \sqrt{\frac{2}{3}} GF(k'^2) (g_{\mu\nu} - d'_\mu d'_\nu / M_d^2) T_{\nu\lambda} e_\lambda \times \quad /1.21/$$

$$\times \bar{V}(h) \gamma_\mu (\hat{n} - M_N) U(p) \cdot I,$$

где

$$I = \int \frac{d^4 q}{(2\pi)^4} \frac{\Gamma_t^*(q^2)}{(n^2 - M_N^2)(d'^2 - M_d^2)(k'^2 - \mu^2)} \quad /1.22/$$

Поскольку полюс в подынтегральном выражении, обусловленный пропагатором  $\pi$ -мезона, находится далеко от области сходимости интеграла, то  $(k'^2 - \mu^2)^{-1}$  можно вынести за знак интеграла; получаем

$$I = \frac{\kappa}{k'^2 - \mu^2},$$

где

$$\kappa = \int \frac{d^4 q}{(2\pi)^4} \frac{\Gamma_t^*(q^2)}{(n^2 - M_N^2)(d'^2 - M_d^2)} \quad /1.23/$$

Пренебрегаем в  $\Gamma_t^*$  немассовыми эффектами и воспользуемся формулой /1.15/ и нерелятивистской волновой функцией трития. Это можно сделать при быстрой сходимости интеграла. После этого

$\kappa$  легко вычисляется. Если ограничиться  $S$ -волной для  $\Psi_t$  и использовать гауссовское распределение, то получим  $\kappa \approx 4,1 \cdot 10^{-3}$ .

Можно не делать предположений относительно поведения  $\Gamma_t(q^2)$  вне массовой поверхности, заменив его другим /12/. Для этого запишем для  $l$  дисперсионное соотношение без вычитаний по  $t$ , где  $t = (k - d)^2$ .

Ближайшей особенностью  $l$  является аномальный порог при  $t_a \approx M_d^2 + 3\mu(\mu + 2\sqrt{\frac{\epsilon_t}{3}})$ . Ввиду его близости к физической области пренебрегаем вкладом от нормального разреза и получим

$$l(t) \approx \frac{1}{\pi} \int_{t_a}^{t_H} \frac{Im l(t')}{t' - t} dt', \quad /1.24/$$

где  $t_H = (\mu + M_d)^2$  - положение нормального порога.  $Im l(t')$  находится по правилу Катковского /16/

$$Im l(t) = \frac{1}{4\pi} \int d^4 q \Gamma_t \delta(n^2 - M_N^2) \delta(d'^2 - M_d^2) \delta(k'^2 - \mu^2) \theta(n_0) \theta(d'_0) \theta(k'_0). \quad /1.25/$$

Вершина входит сюда при  $q = 0$  и не нужно знать ее поведение вне массовой поверхности.

Вычисляя интеграл в /1.25/, получаем /16/

$$Im l(t) = \frac{1}{8} [(M_t^2 + M_N^2 - t)^2 - 4M_N^2 M_t^2]^{-1/2}.$$

Подстановка в /1.24/ дает  $\kappa \approx 5,4 \cdot 10^{-3}$ , что несколько больше значения, полученного выше.

С ростом энергии, при удалении от аномального порога величина  $l$  падает не так быстро как  $l$  в предыдущем разделе. Это связано с тем, что основная часть переданного импульса переносится  $\pi$ -мезоном ввиду слабой зависимости  $F(k'^2)$ . Поэтому в интеграле существенны малые  $q$  и  $\Gamma_t(q^2)$  не вносит дополнительной малости.

При  $q = 0$  промежуточные протон и дейтрон находятся на массовой поверхности. Поэтому из /1.20/ и /1.21/ получаем

$$\frac{d\sigma}{d\Omega}(pd \rightarrow t\pi) = 8 \frac{k_{\pi t}}{k_{p d}} \frac{s_{\pi d}}{s_{p d}} \left| \frac{GFIM_N}{k'^2 - \mu^2} \right|^2 k'^2 \frac{d\sigma}{d\Omega}(\pi d \rightarrow d\pi).$$

/1.26/

На рис. 2 сплошной линией показана энергетическая зависимость дифференциального сечения реакции /1.1/ для  $\pi$ -мезонов, вылетающих назад в с.ц.м. Сечение процесса  $\pi d$ -рассеяния назад подставлялось при фиксированных  $s_{\pi d}$  и  $\theta_{\pi d}$ -угле рассеяния\*.

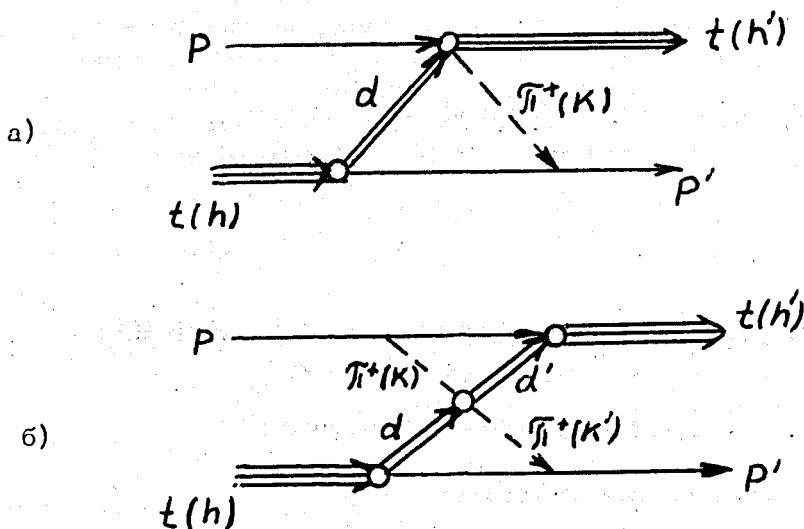


Рис. 4

\* Здесь опять имеется произвол. Можно, например, фиксировать  $s_{\pi d}$  и  $t_{\pi d}$ . Однако аналогичные расчеты для упругого  $pd$ -рассеяния на большие углы /12/ показывают, что при этом согласие с экспериментом хуже.

Экспериментальные данные взяты из работы /17/ при  $\cos \theta_{\pi d} = -0,998$ . Энергетическая область, в которой были получены эти данные, ограничивает энергии, для которых может быть произведен расчет. Видно, что в районе  $T_p = 1,1$  Гэв кривая образует пик. Имеющиеся экспериментальные данные \* не противоречат этому.

На том же рисунке показана угловая зависимость, рассчитанная по формуле /1.26/. Сечение реакции  $\pi d$ -рассеяния подставлялось при  $\theta_{\pi d}$ , связанном следующим образом с  $\theta$ -углом вылета  $\pi$ -мезонов в реакции /1.1/

$$\cos \theta_{\pi d} = \frac{l}{2k_{\pi d} k'_{\pi d}} (M_d^2 + k'^2 - 2\sqrt{(k_{\pi d}^2 + M_d^2)(k_{\pi d}^2 + k'^2) - u}), /1.27/$$

где

$$k_{\pi d}^2 = \frac{(s_{\pi d} - M_d^2 - k'^2)^2 - 4M_d^2 k'^2}{4s_{\pi d}} \quad /1.28/$$

## II. РАССЕЯНИЕ И ПЕРЕЗАРЯДКА ПРОТОНОВ НАЗАД НА ЯДРАХ $He^3$ И $t$

### 2.1. Изотопические амплитуды

Рассмотрим следующие реакции




---

\* Данные при  $T = 0,93 - 1,17$  Гэв получены из спектров, измеренных в работе /18/, и приводятся без ошибок.

Соответствующие им амплитуды обозначим через  $A_1$ ,  $A_2$  и  $A_3$ . Будем классифицировать также амплитуды по изотопическому спинну в  $t$ -канале. Амплитуды, отвечающие изоскалярному и изовекторному обмену, обозначим через  $A_s$  и  $A_v$ . Ясно, что можем записать соотношения

$$A_1 = A_s + A_v, \quad /2.4/$$

$$A_2 = A_s - A_v, \quad /2.5/$$

$$A_3 = 2A_v. \quad /2.6/$$

Для того чтобы выяснить соотношение между вкладами изотопических амплитуд, можно измерять сумму сечений реакций /2.1/ и /2.2/, не содержащую интерференции, и сечение реакции /2.3/. Удобны для этого реакции квазиупругого выбивания протонами фрагментов  $He^3$  и  $t$  из изоскалярных ядер. В предположении, что в этих процессах доминирующим является вклад полюсной диаграммы / и пренебрегая электромагнитными поправками/, можно считать, что выходы ядер  $He^3$  и  $t$  соотносятся следующим образом:

$$\frac{N_{He^3}}{N_t} = \frac{\sigma_1 + \sigma_2}{\sigma_3} = \frac{1}{2} \left( 1 + \frac{\sigma_s}{\sigma_v} \right). \quad /2.7/$$

Здесь обозначения сечений соответствуют обозначениям амплитуд.

Расчет амплитуды  $A_s$  в полюсном приближении проводился авторами в /19/. Обсуждаемый здесь однопионный механизм дает вклад в  $A_v$ .

## 2.2. Изовекторный обмен

Рассмотрим диаграмму для реакции /2.3/, изображенную на рис. 4а. Одна из вершин этой диаграммы содержит амплитуду реакции /1.1/. Если эта реакция осуществляется за счет механизма однопионного обмена, то рассматриваемую диаграмму можно представить в виде, изображенном на рис. 4б. Как указывалось в разделе 1.2, диаграмма на рис. 4а имеет аномальный порог близко к физической области рассеяния и слабо зависит от переданного импульса. Поэтому можно ожидать большое сечение.

Аналогичная диаграмма имеется для процесса  $pd$ -рассеяния назад. Там она в значительной степени пересекается с полюсной диаграммой из-за нуклонного полюса в амплитуде реакции /1.3/. По этой причине в амплитуде процесса их нельзя складывать и на эксперименте нельзя отделить одну от другой.

Для реакций /2.1/-/2.3/ ситуация проще. Полюсная диаграмма и диаграмма на рис. 4а не пересекаются, так как отвечают разным величинам изотопического спина в  $t$ -канале. Зная из опыта  $\sigma_1$ ,  $\sigma_2$ ,  $\sigma_3$ , их легко отделить.

Запишем вклад в изовекторную амплитуду диаграммы на рис. 4а.

$$A_\nu = \int \frac{d^4q}{(2\pi)^4} \bar{U}(p') G \frac{F(k^2)}{k^2 - \mu^2} \frac{\hat{n} + M_N}{n^2 - M_N^2} \Gamma_t(q^2) \frac{1}{\sqrt{3}} \gamma_5 \gamma_\mu V(h) \times$$

$$\times \frac{(g_{\mu\nu} - d_\mu d_\nu / M_d^2)}{d^2 - M_d^2} \bar{V}(h') \hat{A}_\nu U(p) \quad /2.8/$$

Здесь использованы обозначения, введенные ранее и указанные на рис. 4а. Кроме того

$$A = \bar{V}(h') \hat{A}_\nu U(p) e_\nu \quad /2.9/$$

- амплитуда реакции / 1.1/.

Дальнейшие расчеты производятся аналогично тому, как это делается для диаграммы на рис. 3 в разделе 1.2.

В результате получаем для  $\sigma_3$

$$\frac{d\sigma_3}{d\Omega} \Big|_{\text{с.п.м.}} = 8k^2 \left| \frac{GF(k^2)IM_N}{k^2 - \mu^2} \right|^2 \frac{s_{pd}}{s_{pt}} \frac{k_{pd}}{k_{pt}} \frac{d\sigma}{d\Omega} \Big|_{\text{с.п.м.}} (pd \rightarrow t\pi). \quad /2.10/$$



Здесь все величины вычисляются при  $q=0$  и экстраполяция амплитуды реакции /1/ по массе  $\pi$ -мезона производится при фиксированных  $s$  и  $\theta$ . На рис. 5 приведены результаты расчета. Сплошная кривая получена с использованием результатов раздела 1.2 непосредственно по диаграмме на рис. 4б. При этом сечение реакции /1.1/ было отнормировано по экспериментальным данным при  $T_p = 1,08$  Гэв, что дало  $\kappa = 6,6 \cdot 10^{-3}$ . С этим значением  $\kappa$  было вычислено также сечение реакции /2.3/ при  $T_p = 670$  Мэв,  $\theta = 160^\circ$  по экспериментальным данным для реакции /1.1/ при той же энергии и  $\theta = 154^\circ$ . Результат показан на рис. 5. Если использовать данные для сечения реакции /2.1/ при  $T_p = 665$  Мэв и  $\theta = 169^\circ$  /27/, то из изотопических соотношений /2.4/-/2.6/ можно получить границы для отношения  $\frac{N_{He^3}}{N_t}$  в /2.7/

$$4,5 \pm 1,33 \leq N_{He^3} / N_t \leq 12,1 \pm 2,3. \quad /2.11/$$

### III. ПОЛЯРИЗАЦИОННЫЕ ЭФФЕКТЫ

Вычисление треугольных диаграмм содержит ряд неточностей, вызванных или плохим знанием волновых ядерных функций и вне-массовых поправок или ограничением в дисперсионном интеграле областью аномального разреза. Поэтому сравнение с экспериментальными данными можно производить лишь по порядку величины.

Расчет энергетической и угловой зависимостей сечения не содержит этих неопределенностей, поэтому такое сравнение более критично.

Следует заметить только, что при интегрировании по контуру происходит усреднение амплитуды реакции, входящей в одну из вершин диаграммы, по области энергий и углов, соответствующей области сходимости интеграла. Поскольку этим усреднением пренебрегалось и амплитуда выносилась из-под интеграла, то можно ожидать, что пики или провалы, предсказанные таким способом, в действительности окажутся "размазанными". Такая ситуация действительно имеет место в расчетах сечения реакций /1.3/ /12/ и  $p d$ -рассеяния назад /20/.

Другой возможностью избавиться от неопределенностей в вычислении интеграла /1/ является расчет поляризационных

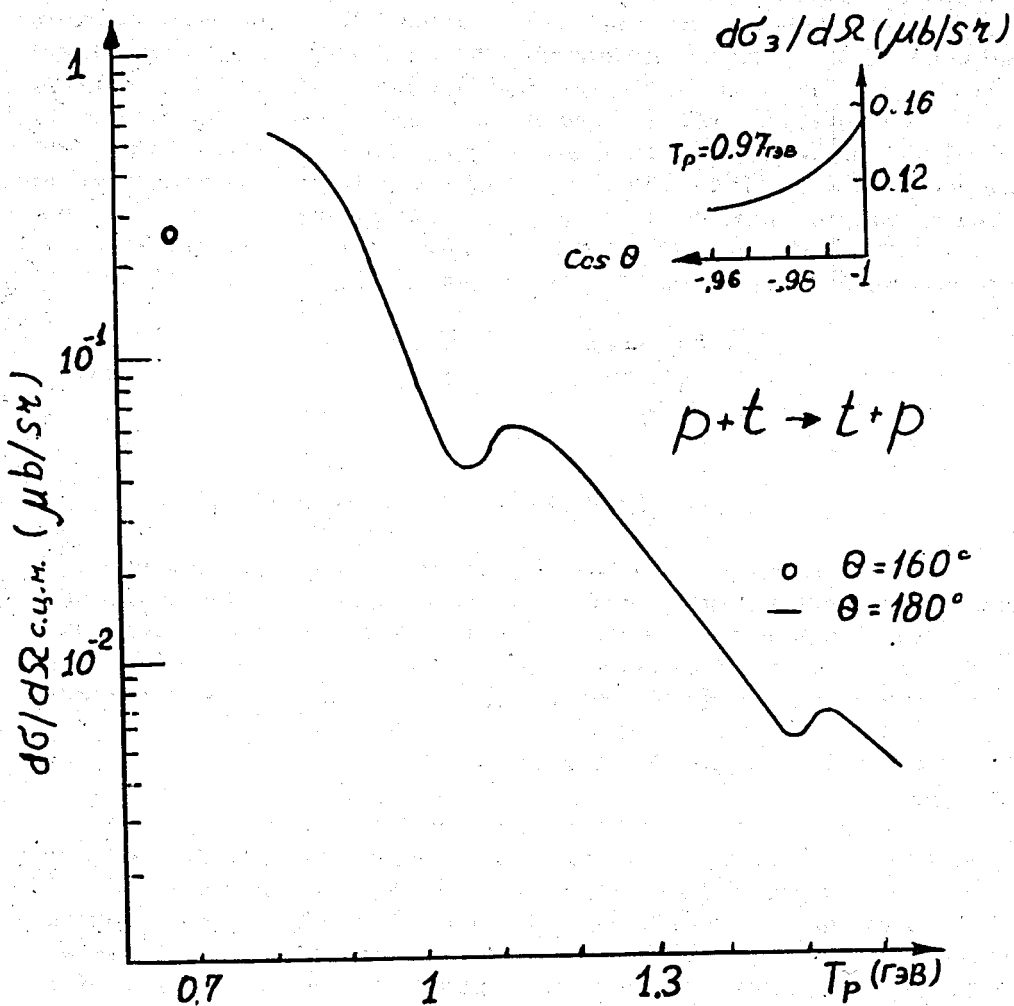


Рис. 5

эффектов. Так как  $l$  входит в амплитуду в виде общего множителя, то из поляризационных параметров он выпадает. Кроме того поляризационные предсказания часто не зависят от способа экстраполяции виртуальной амплитуды.

### 3.1 $\pi d$ -рассеяние

Выразим поляризационные параметры  $\pi d$ -рассеяния через феноменологическую амплитуду /1.20/. Для этого воспользуемся поляризационной матрицей плотности для спина /21/.

$$\rho_{\mu\nu} = \frac{1}{3} \rho_{\mu\nu} + \frac{i}{2} \epsilon_{\mu\nu\sigma\lambda} \frac{d\sigma}{M_d} S_{\lambda}^{1,1} - \frac{1}{3} S_{\mu\nu}^{1,2} \quad /3.1/$$

Здесь  $\rho_{\mu\nu} = g_{\mu\nu} - \frac{d_{\mu} d_{\nu}}{M_d^2}$ ;  $S_{\lambda}^{1,1}$  и  $S_{\mu\nu}^{1,2}$  определены в /21/. Для вектора поляризации и тензора квадрупольного момента выбрана общепринятая нормировка /отличная от /21//. Они являются средними значениями вектора  $s_i$  и тензора  $3\{s_i s_j\} - \delta_{ij} s^2$ , где  $s_{i,\alpha\beta} = -ie^{i\alpha\beta}$  - оператор спина.

Из /1.20/ получаем

$$|T|^2 = \frac{1}{3} T_{\mu\nu} T_{\nu\mu}^* \rho_{\mu\mu'} \rho_{\nu\nu'} + \frac{i}{2} T_{\mu\nu} T_{\mu'\nu'}^* \rho_{\nu\nu'} \epsilon_{\mu\mu'\sigma\lambda} \frac{d\sigma}{M_d} S_{\lambda}^{1,1} - \quad /3.2/$$

$$- \frac{1}{3} T_{\mu\nu} T_{\nu\mu}^* \rho_{\nu\nu'} S_{\mu\mu'}^{1,2}$$

Используя  $PT$ -инвариантность и формулу /40/ из работы /22/, получаем из /3.2/, что неполяризованный в начальном состоянии дейтрон после рассеяния приобретает нормальную к плоскости реакции поляризацию величины

$$P^{\circ} = \frac{J_m T_{\mu\nu} T_{\nu'\mu'}^* \cdot \rho_{\nu\nu'}}{T_{\mu\nu} T_{\nu'\mu'}^* \cdot \rho_{\mu\mu'} \cdot \rho_{\nu\nu'}} \epsilon_{\mu\mu'\sigma i} \frac{d}{M_d} \sigma n_i, \quad /3.3/$$

где  $\vec{n} = [\vec{d} \times \vec{d}'] / |[\vec{d} \times \vec{d}']|$ .

Кроме того у дейтронов появляется квадрупольная поляризация

$$D_{\pi d}^{\circ} = D_{ij} n_i n_j = \frac{3 T_{i\nu} T_{\nu'j}^* \cdot \rho_{\nu\nu'} \cdot n_i n_j}{T_{\mu\nu} T_{\nu'\mu'}^* \cdot \rho_{\nu\nu'} \cdot \rho_{\mu\mu'}}. \quad /3.4/$$

Параметр асимметрии для  $\pi^d$ -рассеяния  $A_{\pi d}^{\circ}$  определяется как асимметрия рассеяния на полностью поляризованной нормально к плоскости реакции мишени. В этом случае в /3.2/ следует положить:

$$S_0^{1,1} = 0; \quad S_i^{1,1} = n_i,$$

$$S_{\mu\nu}^{2,1} = -\frac{3}{2} S_{\mu}^{1,1} S_{\nu}^{1,1} - \frac{1}{2} \rho_{\mu\nu}.$$

Тогда из /3.2/ - /3.4/ нетрудно получить

$$A^{\circ} = \frac{P_{\pi d}^{\circ}}{1 + \frac{1}{3} D_{\pi d}^{\circ}}. \quad /3.5/$$

В отличие от случая спина 1/2 здесь нет равенства параметров асимметрии и поляризации \*

\* Утверждение о том, что для спина 1  $A^{\circ} = 3/2 P^{\circ}$ , содержащееся в /22/, является следствием выбранного авторами этой работы определения параметра  $A^{\circ}$ , отличного от общепринятого.

Если же рассеяние происходит на дейтронах, у которых поляризация равна  $P \cdot \vec{n}$ , а квадрупольная поляризация  $D_{ij} = D \left( \frac{3}{2} n_i n_j - \frac{1}{2} \delta_{ij} \right)$ , то возникающая асимметрия  $\epsilon$  равна

$$\epsilon = \frac{3 P P^{\circ}}{\pi d} \cdot \quad /3.6/$$

$$2 + D(1 + D^{\circ})$$

### 3.2. Реакция $p + d \rightarrow t + \pi^{+}$

Предсказания механизма Рудермана просто вытекают из диаграммы на рис. 1. Асимметрия сечения рассеяния в опыте с поляризованными протонами должна быть такая же, как в реакции /1.3/ и не должна меняться при замене  $\theta$  на  $\pi - \theta$ .

Такая же асимметрия, но с другим знаком, возникает при рассеянии на поляризованных дейтронах. Легко показать, что вкладом квадрупольной поляризации дейтронов можно пренебречь, так как он пропорционален  $Q^2$ , которое считается малым.

Рассчитаем теперь поляризационные эффекты в реакции /1.1/ для механизма однопионного обмена.

Из формулы /1.21/ и из диаграммы на рис. 3 легко увидеть, что асимметрия, возникающая в сечении реакции /1.1/ на поляризованной дейтериевой мишени, равна асимметрии в упругом  $\pi d$ -рассеянии и дается формулой /3.6/. При этом углы рассеяния в том и другом процессе для обеспечения этого равенства связаны соотношениями /1.25/ - /1.26/.

Пусть теперь падающие протоны поляризованы вдоль нормали к плоскости реакции. В этом случае из /1.21/ при  $q = 0$  получаем, просуммировав по спинам других частиц,

$$|A|^2 \approx T_{\nu\nu} T_{\nu\mu'}^* \rho_{\nu\nu} \left( \rho_{\mu\mu'} + i \epsilon_{\mu\mu'\sigma i} \frac{d'}{M} n_i \right) \quad /3.7/$$

\* Параметры, определяющие асимметрию поляризации относительно  $\theta = \frac{\pi}{2}$  в реакции /1.3/, пренебрежимо малы /23/.

Отсюда и из /3.3/ видно, что асимметрия рассеяния равна поляризации дейтронов отдачи в  $\pi d$ -рассеянии.

Следовательно, асимметрии в опытах с поляризованными протонами и поляризованными дейтронами при одинаковой степени поляризации не равны друг другу. Если квадрупольная поляризация дейтронов равна нулю, то из /3.6/ следует, что они связаны коэффициентом  $3/2$ .

Таким образом, предсказания двух моделей для поляризационных эффектов в реакции /1.1/ существенно отличаются.

### 3.3. $\pi t$ -рассеяние назад

Прежде всего отметим, что при виртуальном распаде ядра трития на  $n$  и  $d$  на диаграммах 4а и 4б квадрупольная поляризация возникающих дейтронов пренебрежимо мала, так как она пропорциональна квадрату относительного импульса  $n$  и  $d$ . Поэтому при рассеянии на поляризованной тритиевой мишени в сечении возникает такая же асимметрия как и при  $\pi d$ -рассеянии или в реакции /1.1/ на дейтронах с поляризацией, в  $2/3$  раза меньшей, и квадрупольной поляризацией, равной нулю. Такая же асимметрия, но с обратным знаком возникает в случае, когда поляризованы падающие протоны. Заметим, что этим свойством обладают все реакции рассеяния назад на ядрах, в которых доминирует однопионный механизм.

Авторы благодарны Л.И.Липидусу за внимание к работе и полезные замечания, а также В.И.Комарову и О.В. Савченко за интересное обсуждение.

### Литература

1. M. Ruderhman. *Phys. Rev.*, 87, 383, 1952.
2. S. A. Bludman. *Phys. Rev.*, 94, 1722, 1954.
3. Ю.К.Акимов, О.В.Савченко, Л.М.Сороко. *ЖЭТФ*, 41, 708, 1961.
4. N. E. Booth. *Phys. Rev.*, 132, 2305, 1963.
5. C. H. Q. Ingram, N. W. Tanner, J. J. Domingo, J. Rohlin, *Nucl. Phys.*, B31, 331, 1971.

6. R. Karplus, M. Sommerfield, E. H. Wichmann. *Phys. Rev.*, 111, 1187, 1958.
7. И. С. Шапиро. *ЖЭТФ*, 43, 1068, 1962.
8. R. Blankenblecher, M. L. Goldberger, F. R. Halpern. *Nucl. Phys.*, 12, 629, 1959.
9. I. J. McGee. *Phys. Rev.*, 151, 772, 1966.
10. L. I. Schiff. *Phys. Rev.*, 133, B802, 1964.
11. Т. Уао. *Phys. Rev.*, 134B, 454, 1964.
12. J. W. Barry. Chicago University preprint EF171-43.
13. N. C. Craigie, C. Wilkin. *Nucl. Phys.*, B14, 477, 1969.
14. V. M. Kolibasov, N. I. Smorodinskaja. *Phys. Lett.*, 37B, 272, 1972.
15. E. Ferrari, F. Selleri, *Phys. Rev. Lett.*, 7, 387, 1961.
16. R. E. Cutkosky. *J. Math. Phys.*, 1, 429, 1960.
17. L. S. Schroeder et al. *Phys. Rev. Lett.*, 27, 1813, 1971.
18. J. Banaigs et al. *Nucl. Phys.*, B28, 509, 1971.
19. Б. З. Копелиович, И. К. Поташникова. *ЯФ*, 13, 1032, 1971.
20. В. И. Комаров, Г. Е. Косарев, Г. П. Решетников, О. В. Савченко, *ЯФ*, 16, 234, 1972.
21. Б. З. Копелиович. *ЯФ*, 12, 1286, 1970.
22. M. G. Albrow, M. Borghini, B. Bosnjakovic et al. *Phys. Lett.*, 35B, 247, 1971.
23. У. К. Акимов, О. В. Савченко, Л. М. Сороко. *Nucl. Phys.*, 8, 637, 1968.
24. A. C. Melissinos. *Phys. Rev.*, 159, 1210, 1967.
25. Ю. К. Акимов, В. И. Комаров, К. С. Мариш, О. В. Савченко, Л. М. Сороко. *ЖЭТФ*, 40, 1532, 1961.
26. W. Frank, K. Bandtel et al. *Phys. Rev.*, 94, 1716, 1954.
27. В. И. Комаров, Г. Е. Косарев, О. В. Савченко. *ЯФ*, 11, 711, 1970.

Рукопись поступила в издательский отдел  
8 сентября 1972 года.